



تحلیل کمانشی قاب‌های فولادی دو بعدی با پیوندهای گوناگون

محمد رضایی پژنده، محسن بمبائی‌چی^۱، صفا پیمان^۲

(تاریخ دریافت: ۹۲/۰۶/۲۷، تاریخ پذیرش: ۹۳/۰۲/۰۱)

چکیده

در بیشتر قاب‌های فولادی، پیوند میان عضوها را ساده یا سخت می‌پنداشتند. در حالی که تمامی پیوندها در زیر بار، مقدار مشخصی نرمی از خود نشان می‌دهند. در این مقاله، اثر نرمی پیوند در تحلیل کمانشی قاب‌های فولادی دو بعدی بررسی می‌گردد. در این راستا، با بهره‌جویی از ضربی گیرداری، اثر پیوندهای ساده، سخت، نیمه‌سخت و خورجینی در تحلیل وارد می‌شوند. همچنین، شیوه‌ای برای تحلیل قاب‌های خورجینی ارائه می‌گردد. بر پایه فن پیشنهادی، تمامی رابطه‌های تحلیلی قاب‌های شوند. همچنین، شیوه‌ای برای تحلیل قاب‌های خورجینی ارائه می‌باشد. باید افزود، درستی شیوه پیشنهادی با حل نمونه‌های عددی تأیید می‌شود. به دنبال آن، ماتریس سختی عضو، با وارد نمودن اثرهای مرتبه دوم و نرمی پیوند، پیشنهاد خواهد شد. ویژگی اصلی این ماتریس، کلی بودن آن می‌باشد. زیرا، توانایی الگوسازی یک عضو قابی با هر گونه پیوندی را دارد. همچنین، نسبت به ماتریس‌های مشابه از دقت و کارایی بیشتری برخوردار است. بنابراین، با در اختیار داشتن ماتریس سختی عضوها می‌توان ماتریس سختی قاب را برپا نمود. سپس، بار کمانشی قاب با تعیین مقدارهای ویژه این ماتریس به دست می‌آید. سرانجام، حل چند نمونه عددی و مقایسه پاسخ آنها با نتیجه‌های دیگر پژوهشگران، درستی و دقت بیشتر این شیوه را تأیید می‌کند. بررسی‌ها نشان می‌دهند که پاسخ قاب‌های خورجینی در این گونه تحلیل، نزدیک به قاب‌های نیمه‌سخت است.

کلمات کلیدی

قاب‌های فولادی، پیوند نیمه‌سخت، اثرهای مرتبه دوم، تحلیل کمانشی، پیوند خورجینی

Buckling Analysis of Plane Steel Frames with Various Connections

M. Rezaiee-Pajand, M. Bambaechee, S. Payman

ABSTRACT

The beam-to-column connections in most steel frames are assumed to be pinned or rigid. All structural connections have some specified values of flexibility under the loading. In this paper, the effect of flexibility of connections in buckling analyses of a plane steel frame is investigated. Accordingly, end-fixity factor used for taking into account the pinned, rigid, semi-rigid, and khorjini connections in the analyses. Furthermore, new technique for analysis of steel frames with khorjini joints is proposed. Based on the presented approach, all analytic equations of semi-rigid frames are developed for analysis of khorjin frames. In order to verify the presented method, several numerical examples are solved. Moreover, the stiffness matrix of a beam-column element, which can take into account the second-order effects and flexibility of connections, is derived. This matrix is very general and can be applied to a frame member with any type of connection. The new formula is more accurate and efficient than the corresponding matrices obtained by other authors. By assembling the stiffness matrix of frame and calculating the minimum positive eigenvalue of this matrix, buckling load of the frame is obtained. To demonstrate the validity and efficiency of proposed approach, several numerical examples are solved. Results show that the response of khorjini frame is close to the one with the semi-rigid joints. The buckling loads of the steel frame with khorjini connections are close to the one with the semi-rigid joints.

KEYWORDS

Plane steel frames, Semi-rigid connection, Second-order effects, Buckling analysis, Khorjini connection

۱- استاد، دانشکده مهندسی، گروه عمران، دانشگاه فردوسی مشهد، rezaii@um.ac.ir (نویسنده مسئول)

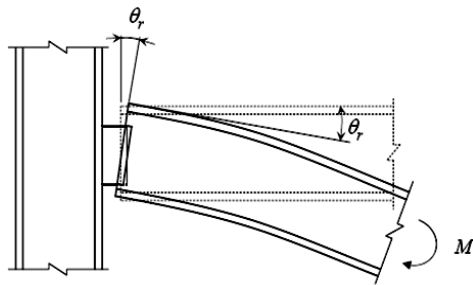
۲- دانشکده مهندسی، گروه عمران، دانشگاه فردوسی مشهد، Mohsen_bambaechee@yahoo.com

۳- دانشکده مهندسی، گروه عمران، دانشگاه فردوسی مشهد



۱- مقدمه

اجزای محدود به تحلیل عامل‌های مؤثر بر روی سختی نخستین پیوندهای جوشی با صفحه انتهایی هم‌تاز پرداخته‌اند [۹].



شکل (۱): تغییرشکل دورانی پیوند

وارد نمودن اثر نرمی پیوند در تحلیل قاب‌های نیمه‌سخت، به طور معمول با یک فرآیند تکراری همراه خواهد بود. این ویژگی به دلیل پاسخ ناخطی بیشتر پیوندها از آغاز بارگذاری می‌باشد. رفتار ناخطی پیوندها را می‌توان ناشی از عامل‌هایی مانند: جاری شدن موضعی، تمرکز تنش، کرنش سخت شوندگی، لغزش پیچ‌ها و مانند این‌ها دانست. در این میان، انتخاب الگوی مناسب برای گونه خاصی از تحلیل، به ویژگی‌های سازه و تجربه تحلیلگر بستگی دارد. برای نمونه، در یک تحلیل کمانشی که تنها سختی نخستین پیوند وارد تحلیل می‌شود، الگوی خطی کاربرد دارد. باید افروز، خطی پنداشتن رفتار پیوند، در تحلیل بهره‌برداری نیز قابل قبول می‌باشد [۸].

پیوند خورجینی یکی دیگر از گونه‌های پیوند تیر به ستون است. این پیوند در گذشته کاربرد فراوانی در ایران داشته است و امروزه نیز با لحاظ نمودن محدودیت‌های آیین‌نامه‌ای هنوز هم به کار می‌رود. مهمترین ویژگی این پیوند، هم محور نبودن پیوند تیر به ستون است. این برونو-محوری، سبب رفتار قیچی‌سان پیوند می‌شود. در این گونه پیوند، تیرها از کنار ستون به صورت یکسره عبور می‌کنند و همانند شکل (۲)، بر روی یک نشیمن نرم و یا نشیمن تقویت شده قرار می‌گیرند. نیشی دیگری، بال بالاًی تیر را

در شیوه‌های تحلیل و طراحی قاب‌های فولادی، به طور معمول از دو گونه پیوند (اتصال) برای عضوها استفاده می‌شود. در این روش‌ها پیوندها را ساده (مفصلی) و یا سخت (صلب) می‌پنداشند. استفاده از الگوی پیوند سخت یا ساده در تحلیل این گونه قاب‌ها، هر چند گام‌های تحلیل و طراحی را آسان می‌کند، ولی رفتار واقعی سازه را به دست نمی‌دهد. بنابراین، باید از شیوه‌ای برای تحلیل بهره جست که به واقعیت نزدیکتر باشد و اثر نرمی (انعطاف‌پذیری) پیوندها را به کار گیرد. در بسیاری از آیین‌نامه‌های معتبر و از آن میان، آیین‌نامه کانادا [۱]، آیین‌نامه اروپا [۲] و آیین‌نامه آمریکا در بخش‌های طراحی به روش تنش مجاز و روش ضریب بار و مقاومت [۳] و [۴]، درباره نرمی پیوندها سخن به میان آمده است. همچنین، در سال‌های کنونی، کتاب‌ها و مقاله‌های گوناگونی در این باره به چاپ رسیده‌اند. از آن میان می‌توان به کتاب Chan و Chui [۵]، در زمینه تحلیل ناخطی ایستایی و چرخه‌ای قاب‌های فولادی با پیوندهای نیمه‌سخت (نیمه‌صلب) و نیز کتاب Faella و همکارانش [۶]، درباره تحلیل و طراحی سازه‌های فولادی با پیوندهای نیمه‌سخت اشاره نمود. در قاب‌های فولادی دو بعدی، نیروهای محوری و برشی و نیز لنگر خمشی با پیوندهای تیر به ستون انتقال می‌یابند. اثر تغییرشکل‌های محوری و برشی قابل چشم‌پوشی است. زیرا، این اثرها در برابر تغییرشکل‌های دورانی ناچیز می‌باشند. بنابراین، تنها بررسی دوران ناشی از لنگر خمشی از اهمیت برخوردار است. به طور معمول، رفتار پیوند را با رابطه لنگر-دوران آن نشان می‌دهند. هنگامی که لنگر M ، به یک پیوند، مانند شکل (۱) وارد می‌شود، دوران به صورت تغییر زاویه میان تیر و ستون از حالت نخست آن تعریف می‌گردد. در واقع، زاویه θ_r برآورده از دوران نسبی تیر و ستون است. بر این پایه، پژوهش‌گران با بهره‌جویی از نتیجه‌های آزمایشگاهی و رابطه‌های تحلیلی، الگوهای گوناگونی را برای پیش‌بینی رفتار پیوند پیشنهاد کرده‌اند [۵-۸]. در یکی از جدیدترین پژوهش‌های سال ۲۰۰۸،



۴- چگونگی الگوسازی رایانه‌ی سازه با پیوندهای خورجینی؛

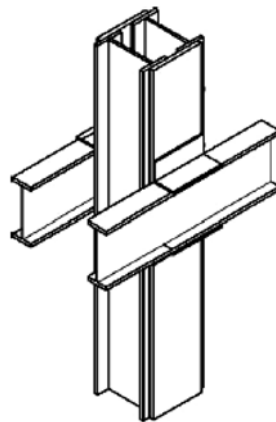
۵- مطالعه الگوی تحلیلی پیوند خورجینی.

در یکی از جدیدترین بررسی‌های سال ۲۰۰۸ Hassanzadeh و Hosseini Hashemi خرابی ساختمان‌های فولادی مهاربندی شده با پیوندهای خورجینی در زلزله بم پرداخته‌اند [۱۷].

استفاده از پیوندهای خورجینی با توجه به آسانی اجرا و نیاز کمتر به برشکاری و جوشکاری و نیز کاهش مقطع‌های تیرها، در ایران و چند کشور دیگر مانند گره و اسپانیا رایج می‌باشد. در سال‌های کنونی، پژوهش‌های نظری و تجربی به طور نسبی، گسترده‌ای در زمینه بررسی رفتار پیوندهای خورجینی انجام گرفته است. حاصل مطالعه‌های ارزنده پژوهش‌گران کشور در کمیته تحقیقات ساختمان و مسکن، منجر به تدوین ضابطه‌های طراحی و اجرایی ساختمان‌های با پیوندهای خورجینی گردیده است [۱۸].

در این مقاله، یک ماتریس سختی نوینی که در بر گیرنده اثرهای مرتبه دوم نیروی محوری و نرمی پیوند می‌باشد، برای تحلیل کمانشی قاب‌های فولادی دو بعدی با پیوندهای گوناگون پیشنهاد می‌شود. برای وارد نمودن اثر نرمی پیوندها در این ماتریس سختی، از ضربی گیرداری و برای وارد کردن اثرهای مرتبه دوم، ازتابعهای دقیق پایداری بهره‌جویی خواهد شد. ویژگی اصلی این ماتریس، کلی بودن آن می‌باشد. زیرا، توانایی الگوسازی یک عضو با هر گونه پیوندی را دارد. همچنین، نسبت به ماتریس‌های مشابه از دقت بیشتری برخوردار است. چون سختی محوری تیرها و ستون‌ها را وارد تحلیل می‌نماید و از تعییرشکل محوری تیرها نیز چشم‌پوشی نمی‌کند. افزون بر این، شیوه‌ای برای تحلیل قاب‌های خورجینی پیشنهاد می‌گردد. بر پایه فن نویسنده‌گان، تمامی رابطه‌های تحلیلی قاب‌های نیمه‌سخت، قابل گسترش برای قاب‌های خورجینی می‌باشد. باید افزود، درستی هر یک از روش‌های پیشنهادی با حل نمونه‌های عددی تأیید می‌گردد.

به ستون وصل می‌کند. همچنین، برای افزایش توانایی باربری پیوند خورجینی، به جای نبیشی بالایی، می‌توان از ورق لچکی بهره جست [۱۰]. باید دانست، پیوند خورجینی گونه‌ای از پیوندهای نیمه‌سخت است. با این تفاوت که در آن، تیرها یکسره هستند و در دهانه‌های کناری به تنها یک کار نمی‌کنند. به همین دلیل، این پیوند را نیمه‌سخت پیوسته می‌نامند. برخلاف آن، در پیوندهای نیمه‌سخت ناپیوسته، تیرها به صورت جدا از هم به ستون‌ها متصل می‌شوند [۱۱].



شکل (۲): نمونه‌ای از پیوند خورجینی

از میان عامل‌هایی که بر سختی و مقاومت پیوند خورجینی تاثیر می‌گذارند، می‌توان به طول نبیشی‌ها، شماره مقطع تیرها، نبیشی‌ها، نوع تقویت به کار رفته برای این پیوند و کیفیت جوش‌ها اشاره نمود. به خاطر باید سپرد، چون پیوند خورجینی، یک پیوند استاندارد به حساب نمی‌آید، بنابراین، تمامی یافته‌های رفتاری این پیوند، محدود به پژوهش‌گران داخلی می‌باشد. بررسی‌های علمی و پژوهشی روی این پیوند از سال ۱۳۶۹ و پس از زلزله منجیل آغاز گردید. این بررسی‌ها به پنج شیوه کلی زیر انجام پذیرفته است [۱۰-۱۶]:

- ۱- مطالعه بر روی الگوهای آزمایشگاهی پیوند خورجینی؛
- ۲- بررسی الگوی رایانه‌ای پیوندهای خورجینی؛
- ۳- مطالعه روی الگوی آزمایشگاهی سازه دارای پیوند خورجینی؛

پژوهشگران، سختی پیوند و ضریب گیرداری را، به ترتیب، با r_j و γ_j نشان دادند.

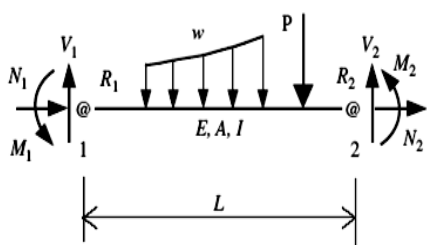
$$C_j = \frac{3EI}{L} \left(\frac{\gamma_j}{1 - \gamma_j} \right); j = 1, 2 \quad (2)$$

پیش از این، یو و شاموگام، رابطه زیر را در تعریف ضریب گیرداری r_j به کار بستند [۲۱].

$$R_j = \frac{4EI}{L} \frac{3p_i}{4(1-p_i)}; j = 1, 2 \quad (3)$$

در این مقاله، رابطه میان سختی تیر-ستون و فنرهای آن را ضریب گیرداری r_j مشخص می‌کند [۲۲]:

$$r_j = \frac{1}{1 + \frac{3EI}{R_j L}}; j = 1, 2 \quad (4)$$



شکل (۳): الگوی عضو نیمه‌سخت زیر اثر بارهای خارجی

برای یک عضو سخت، مقدار ضریب گیرداری برابر یک $(r_j = 1)$ و برای عضو دو سر ساده، این ضریب برابر صفر است. بنابراین، در حالتی که پیوند نیمه‌سخت باشد، ضریب گیرداری بین صفر و یک خواهد بود. بر پایه رابطه (۴)، وابستگی میان ضریب گیرداری و سختی پیوند، ناخطری است. شکل (۴) چنین رابطه‌ای را نشان می‌دهد. بر پایه این شکل، هنگامی که ضریب گیرداری بین صفر و ۰/۵ باشد، رابطه نزدیک به خطی است. با تعریف ضریب گیرداری، شرط‌های متفاوت دو سر عضو، مانند سخت-ساده، نیمه‌سخت-سخت و نیمه‌سخت-ساده به آسانی و با اختیار مقدارهای مناسب ضریب گیرداری برای دو سر آنها به دست می‌آید. از این الگوی کلی، برای تحلیل قاب‌ها با هر ترکیبی از پیوندهای نیمه‌سخت، سخت

۲- ماتریس سختی پیشنهادی عضو نیمه‌سخت

در این بخش، نخست، به بررسی مفهوم ضریب گیرداری پرداخته می‌شود. سپس، از اثرهای مرتبه دوم و چگونگی وارد نمودن آنها در تحلیل قاب‌های دو بعدی سخن به میان می‌آید. در ادامه، با بهره‌جویی از ضریب گیرداری و تابعهای پایداری، ماتریس سختی پیشنهادی عضو نیمه‌سخت در دسترس قرار می‌گیرد. حاطر نشان می‌کند، عضو نیمه‌سخت، پیوندهای نیمه‌سخت دارد. به سخن دیگر، یک عضو به تنها ی سخت (صلب) است؛ ولی هنگامی که دارای پیوندهای نیمه‌سخت (نیمه صلب) می‌باشد، به اختصار، عضو نیمه‌سخت نامیده می‌شود. بر این پایه، هنگامی که فقط پیوندهای دو سر عضو سخت (صلب) باشند، عضو سخت خواهد بود. یادآوری می‌کند، این تعریف برای قاب نیز به کار رفته است. به سخن دیگر، قاب نیمه‌سخت، قابی است که دارای عضوهایی با پیوندهای نیمه‌سخت می‌باشد.

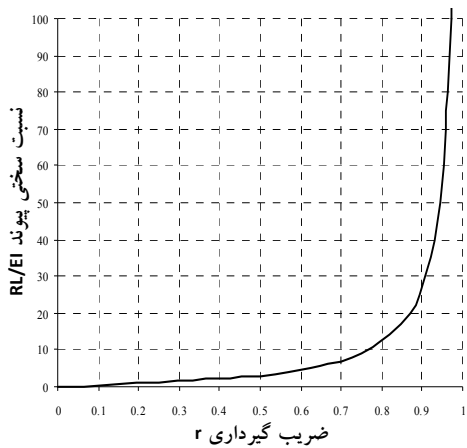
۲-۱- ضریب گیرداری عضو نیمه‌سخت

شکل (۳)، یک عضو نیمه‌سخت را زیر اثر بارهای خارجی نشان می‌دهد. لنگر لختی، سطح مقطع، ضریب کشسانی و طول تیر، به ترتیب، I ، A و L می‌باشند. از اندازه فنرهای متصل در دو سر عضو چشم‌پوشی می‌شود. اثر نرمی پیوند، به وسیله فنرهای دورانی به سختی R_1 و R_2 در دو سر تیر الگوسازی می‌گردد.

تا کنون رابطه‌های متفاوتی برای ضریب گیرداری ارائه شده است. باید آگاه بود، ویژگی مشترک آنها وابستگی ناخطری این ضریب به سختی تیر و سختی پیوند می‌باشد. همچنین، ضریب گیرداری بین صفر و یک تغییرمی‌کند. برای نمونه، Chan و Zhou رابطه (۱) را برای ضریب گیرداری و یا عامل کنترل سختی پیوند η ، معرفی نمودند [۱۹].

$$\eta = R / [R + 4(EI / L)] \quad (1)$$

Sekulovic و Salatic رابطه میان سختی پیوند و ضریب گیرداری را همانند رابطه (۲) نوشتند [۲۰]. این



شکل (۴): نمودار نسبت سختی پیوند در برابر ضریب گیرداری

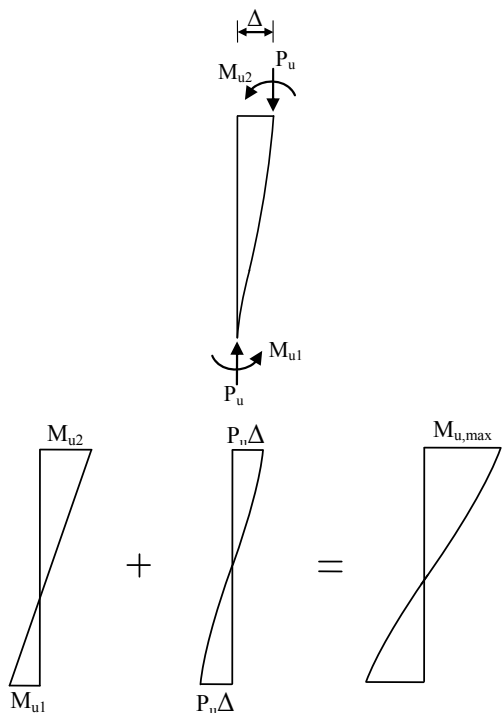
۲-۲- اثرهای مرتبه دوم

تیر-ستونهای قاب‌ها زیر اثر لنگر خمشی و نیروی محوری قرار دارند. لنگر خمشی در تیر-ستون‌ها شامل لنگرهای مرتبه یکم و دوم می‌شود. لنگرهای مرتبه یکم در اثر بار جانبی متمرکز یا گسترده و لنگرهای مرتبه دوم از اثر نیروی محوری بر خیز عضوها به وجود می‌آیند. عامل‌هایی که سبب ایجاد لنگرهای مرتبه دوم می‌گردند، اثرهای مرتبه دوم نام دارند. در قاب‌ها، اثرهای مرتبه دوم $P-\delta$ و $P-\Delta$ همیت بیشتری دارند.

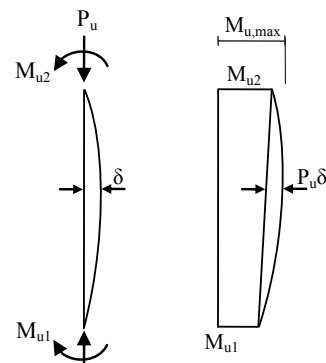
لنگرهای $P-\delta$ از کار نیروی محوری بر روی تغییر مکان‌های جانبی در طول عضو به وجود می‌آیند. این تغییر مکان‌ها نسبت به وتر وصل‌کننده دو سر عضو سنجیده می‌شوند. شکل (۵-الف) عضو مهار شده‌ای را نشان می‌دهد که زیر اثر خمش یک انحنایی قرار دارد. لنگر مرتبه یکم در طول عضو خطی می‌باشد؛ ولی لنگر مرتبه دوم آن ناخطی است. این حالت، در خمس دو اchnittایی، همانند شکل (۵-ب) می‌باشد. خاطر نشان می‌کند، بسته به مقدار نیروی محوری و نسبت لنگرهای دو سر، لنگر بیشینه در طول عضو یا یکی از دو سر آن خواهد بود. باید دانست، برای وارد کردن اثر $P-\delta$ بایستی انحنای جزء را به‌هنگام نمود.

و ساده می‌توان بهره جست. به خاطر باید سپرد، ضریب گیرداری عضوها اهمیت زیادی در طراحی دارد. زیرا، یک برداشت فیزیکی از سختی پیوند را آشکار می‌سازد. همچنین، طراح به کمک آن و با یک روش ساده به مقایسه پاسخ عضوهای با پیوندهای نیمه‌سخت در برابر پیوندهای ساده یا سخت می‌پردازد. بر پایه شکل (۴)، هنگامی که سختی پیوند زیاد است، کاهش ضریب گیرداری، تغییر قابل توجهی را در سختی پیوند ایجاد نمی‌کند. برخلاف آن، در در سختی‌های کم، افزایش اندک سختی پیوند، افزایش محسوسی در ضریب گیرداری را در پی خواهد داشت. بنابراین، یک پیوند ساده با سختی ناچیز، لنگر مقاوم قابل توجهی ایجاد می‌کند که می‌تواند برای سازه مفید باشد. در برابر آن، تلاش برای دستیابی به افزایش بیشتر سختی پیوند، بیش از محدوده پیوند سخت لازم نیست و اقتصادی نخواهد بود. زیرا، این ویژگی سبب تغییر ناچیزی در ضریب گیرداری می‌شود و در نتیجه، اثر قابل توجهی در پاسخ سازه نخواهد داشت [۲۳]. گرستیل گزارش نموده است که تغییرهای نسبت سختی پیوند در طراحی ساختمان‌های معمولی با پیوندهای سخت، میان ۱۰ تا ۵۰ می‌باشد. بر این پایه، تغییر ضریب گیرداری بین ۷۷/۰ تا ۹۴/۰ خواهد بود [۲۴].

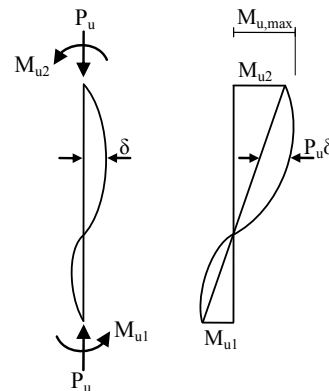
از دیدگاه فیزیکی، فنری که هیچ گونه لنگری را از تیر به ستون انتقال ندهد، پیوند ساده یا $R=1$ را الگوسازی می‌کند. در برابر آن، فنری که تمام لنگر سر تیر را به ستون منتقل کند، پیوند سخت یا $R=\infty$ را الگوسازی خواهد نمود. بر این پایه، فنری که بخشی از لنگر سر تیر را به ستون انتقال دهد، پیوند نیمه‌سخت را الگوسازی می‌نماید. آشکار است که سختی پیوندها به جزئیات اجرایی پیوند وابسته می‌باشد. برای آگاهی از جزئیات اجرایی پیوندهای خورجینی می‌توان به مراجعهای [۸، ۱۰، ۱۳، ۱۶ و ۱۸] و برای پیوندهای نیمه‌سخت به منابع [۲۳ و ۲۴] مراجعه نمود.



شکل (۶): اثر $P-\Delta$ بر تیر-ستون مهار شده

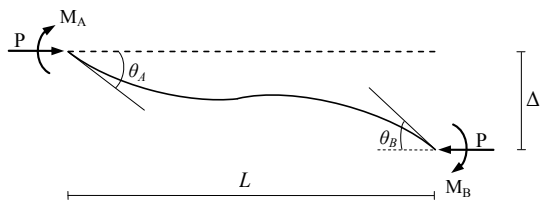


الف - خمینه یک انجتایی



ب - خمینه دو انجتایی

شکل (۵): اثر $P-\delta$ بر تیر-ستون مهار شده



شکل (۷): عضو تیر-ستون با تغییر مکان

با نوشتن رابطه‌های تعادل و معادله دیفرانسیل اولر، تابع تغییرمکان به دست می‌آید. با یک بار مشتق‌گیری از آن و وارد کردن شرط‌های مرزی دوران در دو سر عضو، می‌توان نوشت:

$$M_A = \frac{EI}{L} \left(S_{11}\theta_A + S_{12}\theta_B - (S_{11} + S_{12})\frac{\Delta}{L} \right) \quad (5)$$

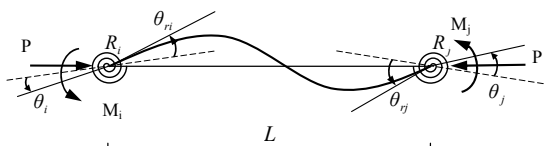
$$M_B = \frac{EI}{L} \left(S_{21}\theta_A + S_{22}\theta_B - (S_{21} + S_{22})\frac{\Delta}{L} \right) \quad (6)$$

ضریب‌های S_{11} , S_{12} , S_{21} و S_{22} تابع‌های پایداری نام دارند و برای نیروی محوری فشاری به صورت زیر در می‌آیند:

لنگرهای $P-\Delta$ از کار نیروی محوری بر تغییر مکان نسبی دو سر عضو به وجود می‌آیند. شکل (۶) عضوی مهار نشده زیر اثر بارهای وزنی و جانبه را نشان می‌دهد. در این حالت نیز، لنگر مرتبه یکم خطی و لنگر مرتبه دوم، ناخطي می‌باشد. برای وارد کردن اثر $P-\Delta$, $P-\delta$ ، باید هندسه سازه را به هنگام نمود.

هر دو اثر $P-\Delta$ و $P-\delta$ را می‌توان به کمک تابع‌های پایداری وارد تحلیل نمود. برای این کار، از رابطه‌های ایستایی و معادله دیفرانسیل اولر بهره‌گیری می‌شود. برای نمونه، یک عضو تیر-ستون که همانند شکل (۷) تغییر مکان جانبه Δ دارد، زیر اثر لنگرهای گرهی M_A و M_B و نیز نیروی محوری P قرار می‌گیرد.

سختی پیوند وارد تحلیل می‌شود و بر پایه آن، ماتریس سختی عضو نیمه‌سخت با بهره‌جوبی از رابطه‌های شیب-افت و تابع‌های پایداری در دسترس قرار می‌گیرد. برای انجام این کار، تیر شکل (۸) زیر اثر لنگرهای انتهایی M_i و M_j و نیروی محوری فشاری P با پیوندهای مشخص در نظر گرفته می‌شود. این پیوندها به صورت فنرهای چرخشی الگوسازی شده و وجودشان سبب دوران‌های نسبی θ_{ri} و θ_{rj} در دو سر تیر می‌گردد.



شکل (۸): الگوی فن برای پیوند نیمه‌سخت

چون در تحلیل کمانشی و محاسبه بار بحرانی، تنها به تغییر‌شکل‌های آنی قاب در نزدیکی موقعیت تغییر‌شکل نیافته توجه می‌گردد، بدیهی است که تنها سختی نخستین پیوند در نظر گرفته شود. بنابراین، با توجه به این که R_i و R_j سختی‌های نخستین پیوند در دو سر تیر هستند، چرخش نسبی میان گره و انتهای تیر (تغییر‌شکل دورانی پیوند) را می‌توان به صورت زیر نوشت:

$$\theta_{ri} = \frac{M_i}{R_i} ; \theta_{rj} = \frac{M_j}{R_j} \quad (12)$$

چنانچه، θ_i و θ_j دوران‌های گره در دو سر i و j باشند، در این صورت، رابطه‌های شیب-افت اصلاح شده، با توجه به پیوندهای موجود، به صورت زیر خواهد بود:

$$M_i = \frac{EI}{L} \left(S_{11}(\theta_i - \frac{M_i}{R_i}) + S_{12}(\theta_j - \frac{M_j}{R_j}) \right) \quad (13)$$

$$M_j = \frac{EI}{L} \left(S_{21}(\theta_i - \frac{M_i}{R_i}) + S_{22}(\theta_j - \frac{M_j}{R_j}) \right) \quad (14)$$

در رابطه‌های کوتني، EI سفتی خمشی تیر و L طول آن می‌باشند. عامل‌های S_{11} ، S_{12} ، S_{21} و S_{22} تابع‌های پایداری هستند که پیشتر معرفی شدند. با حل دو معادله پیشین، M_i و M_j به دست می‌آیند [۸]:

$$S_{11} = S_{22} = \frac{kL[\sin(kL) - kl\cos(kl)]}{2 - 2\cos(kl) - kl\sin(kl)} \quad (7)$$

$$S_{12} = S_{21} = \frac{kL[kL - \sin(kl)]}{2 - 2\cos(kl) - kl\sin(kl)} \quad (8)$$

در این رابطه‌ها، kL عامل ستون و برابر $(P/EI)^{1/2}$ می‌باشد. P نیروی محوری عضو و در حالت فشاری مثبت خواهد بود. اگر نیروی محوری کششی باشد، شکل کلی رابطه‌ها همانند پیش است و تنها تابع‌های پایداری به صورت زیر تغییر می‌یابند:

$$S_{11} = S_{22} = \frac{kL[kL\cosh(kL) - \sinh(kl)]}{2 - 2\cosh(kl) + kl\sinh(kl)} \quad (9)$$

$$S_{12} = S_{21} = \frac{kL[kL - \sinh(kl)]}{2 - 2\cosh(kl) + kl\sinh(kl)} \quad (10)$$

در ادامه، با بهره‌جوبی از معادله‌های تعادل و رابطه‌های ماتریسی، ماتریس سختی یک عضو سخت با در نظر گرفتن اثرهای مرتبه دوم، همانند رابطه (۱۱) در دسترس قرار می‌گیرد. در این رابطه، E ضریب کشسانی و A و L به ترتیب، طول، سطح مقطع و لنگر لختی عضو هستند.

$$K_i^R = \frac{EI}{L} \begin{bmatrix} \frac{A}{I} & 0 & 0 & -\frac{A}{I} & 0 & 0 \\ \frac{12}{L^2}\phi_1 & \frac{6}{L}\phi_2 & 0 & -\frac{12}{L^2}\phi_1 & \frac{6}{L}\phi_2 & \\ & 4\phi_3 & 0 & -\frac{6}{L}\phi_2 & 2\phi_4 & \\ & & \frac{A}{I} & 0 & 0 & \\ & & Sym & \frac{12}{L^2}\phi_1 & -\frac{6}{L}\phi_2 & \\ & & & & 4\phi_3 & \end{bmatrix} \quad (10)$$

عامل‌های ϕ_1 ، ϕ_2 ، ϕ_3 و ϕ_4 نیز همان تابع‌های پایداری می‌باشند. این عامل‌ها، بسته به نیروی محوری عضو، به صورت تابع‌های مثلثی و سهمی‌گونه در دسترس قرار دارند. باید دانست، هنگامی که نیروی محوری عضو صفر است، تمامی این عامل‌ها برابر یک خواهند بود و ماتریس سختی تحلیل کشسان مرتبه اول به دست می‌آید [۸]. برای وارد نمودن اثرهای مرتبه دوم در تحلیل قاب‌های نیمه‌سخت دو راهکار کلی وجود دارد. در فن نخست،

در رابطه کنونی، Δ جابجایی نسبی دو سر عضو است. به طور مشابه، بین تغییر شکل محوری θ_i و دوران های عضوی θ_j و نیز تغییر مکان های دو سر عضو d_i ($i=1\dots 6$)، وابستگی زیر برقرار است:

$$\begin{bmatrix} e \\ \theta_i \\ \theta_j \end{bmatrix} = \begin{bmatrix} 1 & 0 & 0 & -1 & 0 & 0 \\ 0 & \frac{1}{L} & 1 & 0 & -\frac{1}{L} & 0 \\ 0 & \frac{1}{L} & 0 & 0 & -\frac{1}{L} & 1 \end{bmatrix} \begin{bmatrix} d_1 \\ d_2 \\ d_3 \\ d_4 \\ d_5 \\ d_6 \end{bmatrix} \quad (22)$$

با ترکیب رابطه های بالا و نیز بهره گیری از رابطه نیرو-تغییر مکان عضو، رابطه میان نیروها و تغییر مکان های شکل (۹) به صورت فشرده زیر در می آید:

$$r = K_{EL}^{SR} d \quad (23)$$

در این رابطه، K_{EL}^{SR} ، ماتریس سختی و تری عضو نیمه سخت است. این ماتریس که در بر گیرنده اثرهای مرتبه دوم و نرمی پیوند می باشد، به وسیله Chen و Lui ارائه و برای عضو نیمه سخت شکل (۹)، همانند رابطه (۲۴) نوشته می شود [۸]. عامل های به کار رفته در این ماتریس پیش از این معرفی گردیدند.

در شیوه دیگر، ضریب گیرداری به کار می رود و اثرهای مرتبه دوم نیز به صورت تقریبی و با برداشتن دو جمله یکم دنباله تیلور عامل های ϕ_1 تا ϕ_4 ، وارد تحلیل می شوند [۲۵]. در هر یک از این فن ها، ماتریس سختی به صورت صريح ارائه گردیده است. باید افزود، Sekulovic و Salatic در سال ۲۰۰۱، با بهره جویی از روش اجزای محدود و تابع های پایداری، ماتریس سختی عضو نیمه سخت را با وارد کردن اثرهای مرتبه دوم، کوتاه شدگی ناشی از خم شود و برومنوری پیوند، به صورت کلی ارائه نمودند [۲۰].

$$M_i = \frac{EI}{L} (S_{11}^* \theta_i + S_{12}^* \theta_j) \quad (15)$$

$$M_j = \frac{EI}{L} (S_{21}^* \theta_i + S_{22}^* \theta_j) \quad (16)$$

در این رابطه ها، تابع های پایداری اصلاح شده S_{11}^* ، S_{12}^* و S_{21}^* و S_{22}^* و عامل R^* به صورت زیر تعریف می شوند:

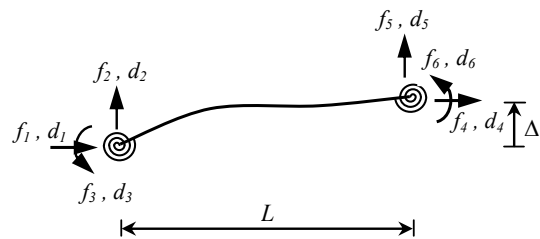
$$S_{11}^* = \left(S_{11} + \frac{EI}{LR_2} S_{11}^2 - \frac{EI}{LR_2} S_{12}^2 \right) / R^* \quad (17)$$

$$S_{22}^* = \left(S_{22} + \frac{EI}{LR_1} S_{22}^2 - \frac{EI}{LR_1} S_{21}^2 \right) / R^* \quad (18)$$

$$S_{12}^* = S_{21}^* = \frac{S_{12}}{R^*} \quad (19)$$

$$R^* = (1 + \frac{EI}{LR_1} S_{11})(1 + \frac{EI}{LR_2} S_{22}) - (\frac{EI}{L})^2 (\frac{S_{12}^2}{R_1 R_2}) \quad (20)$$

از سوی دیگر، رابطه های کنونی را می توان در رابطه سختی عضوی با شش درجه آزادی، همانند شکل (۹)، وارد کرد و نتیجه زیر را میان نیروهای دو سر آن f_i ($i=1\dots 6$)، به دست آورده:



شکل (۹): نیروهای گیرداری و تغییر شکل های گرهی عضو نیمه سخت

$$\begin{bmatrix} f_1 \\ f_2 \\ f_3 \\ f_4 \\ f_5 \\ f_6 \end{bmatrix} = \begin{bmatrix} 1 & 0 & 0 \\ 0 & \frac{1}{L} & \frac{1}{L} \\ 0 & 0 & 0 \\ -1 & 0 & 0 \\ 0 & -\frac{1}{L} & -\frac{1}{L} \\ 0 & 0 & 1 \end{bmatrix} \begin{bmatrix} P \\ M_i \\ M_j \end{bmatrix} + \begin{bmatrix} 0 \\ \frac{P\Delta}{L} \\ 0 \\ -\frac{P\Delta}{L} \\ 0 \\ 0 \end{bmatrix} \quad (21)$$

$$K_i^{SR} = \frac{EI}{L} \begin{bmatrix} \frac{A}{I} & 0 & 0 & \frac{-A}{I} & 0 & 0 \\ 0 & \frac{(S_{11}^* + 2S_{12}^* + S_{22}^*) - (kL)^2}{L^2} & \frac{(S_{11}^* + S_{12}^*)}{L} & 0 & \frac{-(S_{11}^* + 2S_{12}^* + S_{22}^*) + (kL)^2}{L^2} & \frac{(S_{12}^* + S_{22}^*)}{L} \\ & S_{11}^* & 0 & \frac{-(S_{11}^* + S_{12}^*)}{L} & & S_{12}^* \\ & & \frac{A}{L} & 0 & & 0 \\ Sym & & & \frac{(S_{11}^* + 2S_{12}^* + S_{22}^*) - (kL)^2}{L^2} & \frac{-(S_{12}^* + S_{22}^*)}{L} & \\ & & & & & S_{22}^* \end{bmatrix} \quad (24)$$

ساده و سخت ضعف دارد. در حالی که با ماتریس پیشنهادی رابطه (۲۵) این ضعف برطرف می‌گردد.

درایه‌های مخالف صفر ماتریس سختی پیشنهادی به قرار زیراند:

$$K_{11} = K_{44} = -K_{14} = \frac{AH}{I} \quad (26)$$

$$K_{22} = K_{55} = -K_{25} = \frac{36\phi_2}{L^2} [3r_1 r_2 + (r_1 + r_2 - 2r_r r_2)(2\phi_3 - \phi_4)] - \frac{\rho}{L^2} \quad (27)$$

$$K_{23} = -K_{35} = \frac{18\phi_2}{L} [3r_1 r_2 + 2r_1(1 - r_2)(2\phi_3 - \phi_4)] \quad (28)$$

$$K_{26} = -K_{56} = \frac{18\phi_2}{L} [3r_1 r_2 + 2r_2(1 - r_1)(2\phi_3 - \phi_4)] \quad (29)$$

$$K_{33} = 36[r_1 r_2 \phi_3 + r_1(1 - r_2)\phi_2(2\phi_3 - \phi_4)] \quad (30)$$

$$K_{36} = 18r_1 r_2 \phi_4 \quad (31)$$

$$K_{66} = 36[r_1 r_2 \phi_3 + r_2(1 - r_1)\phi_2(2\phi_3 - \phi_4)] \quad (32)$$

عامل بدون یکای H , به صورت زیر نوشته می‌شود:

$$H = [3r_1 + 4\phi_3(1 - r_1)][3r_2 + 4\phi_3(1 - r_2)] - 4\phi_4^2(1 - r_1)(1 - r_2) \quad (33)$$

در رابطه‌های کنونی، r_1 و r_2 ضریب‌های گیرداری دو سر عضو، E ضریب کشسانی و L و J به ترتیب، طول،

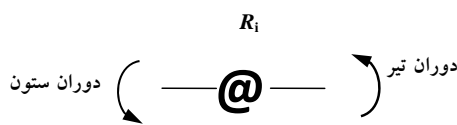
۳-۲- ماتریس سختی پیشنهادی

اینک، ماتریس سختی عضو نیمه‌سخت، با وارد کردن اثرهای مرتبه دوم ($P-\Delta$ و $P-\delta$) و نرمی پیوند، همانند رابطه (۲۵) پیشنهاد می‌گردد. ویژگی اصلی این ماتریس، کلی بودن آن می‌باشد. زیرا، توانایی الگوسازی یک عضو با هر گونه پیوندی را دارد. همچنین، نسبت به ماتریس‌های مشابه از دقت و کارایی بیشتری برخوردار است. یادآوری می‌کند، می‌توان از این ماتریس برای تحلیل‌های مرتبه دوم و پایداری قاب‌های نیمه‌سخت بهره جست.

$$K_i^{SR} = \frac{EI}{HL} \begin{bmatrix} K_{11} & 0 & 0 & K_{14} & 0 & 0 \\ K_{22} & K_{23} & 0 & K_{25} & K_{26} & \\ & K_{33} & 0 & K_{35} & K_{36} & \\ & & K_{44} & 0 & 0 & \\ Sym. & & & K_{55} & K_{56} & \\ & & & & K_{66} & \end{bmatrix} \quad (25)$$

باید افروزد، این ماتریس، مشابه رابطه (۲۴) می‌باشد. با این تفاوت که برای وارد نمودن اثر نرمی پیوند از ضریب گیرداری و برای وارد کردن اثرهای مرتبه دوم ازتابع‌های پایداری ϕ_1 ، ϕ_2 ، ϕ_3 و ϕ_4 بهره‌جویی می‌شود. به سخن دیگر، ماتریس پیشنهادی، با جایگزینی ضریب گیرداری به جای سختی پیوند و انجام عملیات ریاضی و ساده نمودن درایه‌های رابطه ماتریس Chen و Lui به دست می‌آید. این کار با بهره‌جویی از نرمافزار Maple انجام پذیرفت. آشکار است، ماتریس رابطه (۲۴) در الگوسازی صریح عضوهای

و نیز دوران‌های تیر و ستون متصل به آن گره را در بر می‌گیرد.



شکل (۱۰): الگوی رایج پیوند خورجینی

به سخن دیگر، پس از سوار نمودن ماتریس سختی تیرها و ستون‌ها، ماتریس سختی پیوند خورجینی را همانند رابطه (۴۰) به درجه‌های آزادی متناظر در ماتریس سختی سازه می‌افزایند. در این رابطه، R_i سختی پیوند خورجینی در گره i ام می‌باشد.

$$K_i^{Kh} = \begin{bmatrix} R_i & -R_i \\ -R_i & R_i \end{bmatrix} \quad (40)$$

در فن پیشنهادی، نخست، کلیه پیوندها نیمه‌سخت پنداشته می‌شوند. سپس، سختی پیوندهای دهانه‌های کناری برابر با سختی پیوند خورجینی و سختی پیوندهای میانی، نصف سختی پیوندهای خورجینی منظور می‌گردد. در نتیجه، سازه با پیوند خورجینی، همانند یک سازه با پیوندهای نیمه‌سخت الگوسازی می‌شود. این شیوه در شکل (۱۱) به نمایش در آمده است. خاطر نشان می‌کند، روش پیشنهادی، پیوندهای خورجینی را به پیوندهای نیمه‌سخت تبدیل می‌کند. از ستون‌های میانی در رابطه‌سازی پیشنهادی بهره‌جویی می‌شود و شبیه تیرهای میانی وارد کار نمی‌گردد. چون در راهکار نویسنده‌گان پیوستگی تیر از بین می‌رود، نخست، باید دوران ستون میانی در دسترس قرار گیرد. سپس، دوران تیر میانی با در اختیار داشتن دوران ستون میانی و بر پایه‌ی سختی پیوند خورجینی برقرار می‌گردد. بنابراین، سازگاری دوران‌های دو سر پیوند خورجینی به کمک ستون حفظ خواهد شد. بر این پایه، تحلیل قاب‌های خورجینی، همانند قاب‌های نیمه‌سخت و با سه درجه آزادی در هر گره، صورت می‌پذیرد. همچنین، به جای وارد نمودن سختی پیوند خورجینی، می‌توان از ضربی گیرداری بهره جست. بر پایه روش پیشنهادی،

سطح مقطع و لنگر لختی عضو می‌باشند. تابع‌های ϕ_1 ، ϕ_2 ، ϕ_3 و ϕ_4 به صورت زیر تعریف می‌گردند:

$$\phi_1 = \frac{\rho \sqrt{\rho} \sin(\sqrt{\rho})}{12 \phi_c} \quad (34)$$

$$\phi_2 = \frac{\rho(1 - \cos(\sqrt{\rho}))}{6 \phi_c} \quad (35)$$

$$\phi_3 = \frac{\sqrt{\rho}(\sin(\sqrt{\rho}) - \sqrt{\rho} \cos(\sqrt{\rho}))}{4 \phi_c} \quad (36)$$

$$\phi_4 = \frac{\sqrt{\rho}(\sqrt{\rho} - \sin(\sqrt{\rho}))}{2 \phi_c} \quad (37)$$

$$\phi_c = 2 - 2 \cos(\sqrt{\rho}) - \sqrt{\rho} \sin(\sqrt{\rho}) \quad (38)$$

$$\rho = \frac{PL^2}{EI} \quad (39)$$

در این رابطه‌ها، P نیروی محوری عضو و در حالت فشاری مثبت است. باید افزود، رابطه‌های مشابه را می‌توان برای نیروی محوری کششی ارائه نمود. آشکار است، هنگامی که ضربی‌های گیرداری دو سر عضو، برابر یک باشند، ماتریس رابطه (۱۱) به دست می‌آید.

۳- روش پیشنهادی برای تحلیل قاب‌های خورجینی

آن گونه که آمد، پیوند خورجینی گونه‌ای از پیوندهای نیمه‌سخت است. با این تفاوت که در آن، تیرها یکسره هستند و در دهانه‌های کناری به تنها یکی کار نمی‌کنند. به همین دلیل، آن را پیوند نیمه‌سخت پیوسته می‌نامند. با وجود این، همواره در تحلیل این گونه قاب‌ها، پیوند خورجینی را با یک فنر پیچشی، که سختی دورانی و نمودارهای لنگر-دوران آن از نتیجه‌های آزمایشگاهی به دست می‌آید، الگوسازی می‌نمایند. همانند شکل (۱۰)، این فنر، درجه آزادی دورانی تیر و ستون را به هم وابسته می‌کند. بر این پایه، پژوهش‌گران سختی پیوند را وارد تحلیل می‌کنند و با تعریف چهار درجه آزادی در هر گره، به تحلیل قاب‌های خورجینی می‌پردازند [۱۱، ۱۲-۱۴ و ۱۶]. این چهار درجه آزادی، جابجا‌یابی‌های افقی و قائم گره

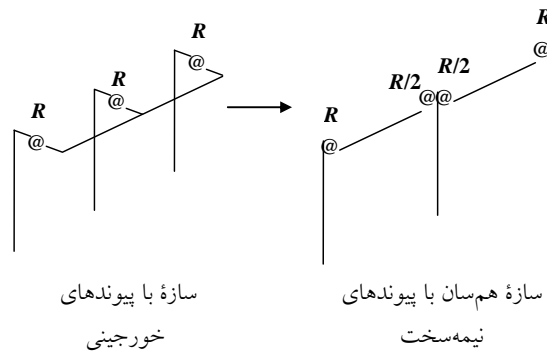
وضعیت، یک حالت تعادلی نزدیک به موقعیت تغییرشکل نیافتن نخستین قاب را به دست می‌دهد. بنابراین، برای تعیین بار بحرانی، باید رابطه‌های تعادل قاب را بر پایه وضعیت تغییرشکل یافته قاب نوشت. این حالت، اثرهای مرتبه دوم را نیز در بر می‌گیرد. به سخن دیگر، رابطه (۲۵) برای انجام این تحلیل به کار می‌رود. از سوی دیگر، تحلیل پایداری، تنها به تغییرشکل‌های آنی در نزدیکی وضعیت تغییرشکل نیافتن قاب نیاز دارد. بنابراین، تنها سختی نخستین پیوند برای تحلیل پایداری لازم خواهد بود. به این ترتیب، با در اختیار داشتن ماتریس سختی عضو نیمه‌سخت، ماتریس سختی تیرها و ستون‌ها به دست می‌آیند. به دنبال آن، ماتریس سختی سازه، K ، پس از برهم‌نگاری و وارد نمودن شرط‌های مرزی، در دسترس قرار می‌گیرد. سرانجام، می‌توان بار بحرانی را از معادله مشخصه زیر حساب نمود:

$$\det[K] = 0 \quad (41)$$

به سخن دیگر، برای یافتن بار بحرانی یک سازه، بایستی کمترین مقدار ویژه ماتریس سازه را به دست آورد. آشکار است، این کار به کمک روش‌های عددی و با آزمون و خطا انجام می‌پذیرد. برنامه رایانه‌ای نویسنده‌گان اثرهای مرتبه دوم تابعه‌ای پایداری را وارد تحلیل می‌کند. همچنین، ماتریس سختی پیشنهادی را به کار می‌گیرد. گونه‌های مختلف پیوند تیر به ستون بر پایه ضریب گیرداری وارد تحلیل می‌گردند. این برنامه، توانایی یافتن بار بحرانی قاب‌های فولادی دو بعدی با سه درجه آزادی در هر گره را دارد. به سخن دیگر، با پایدار پنداشتن همه عضوهای قاب، پایداری کل سازه بررسی می‌گردد.

یادآوری می‌کند، در یکی از پژوهش‌های سال ۲۰۰۵، به بررسی اثر گره‌های نیمه‌سخت و سامانه Raftoyiannis مهاربند کشسان بر روی بار کمانشی قاب‌های فولادی مستطیلی ساده پرداخت. وی با بهره‌جوبی از تحلیل پایداری و حل معادله‌های دیفرانسیل حاکم بر قاب یک دهانه و یک طبقه با تکیه‌گاه‌های گیردار و ساده، به یافتن بار کمانشی قاب‌های نیمه‌سخت پرداخت [۲۶]. پیش از آن، Li و Mativo در سال ۲۰۰۰، یک راهکار تقریبی

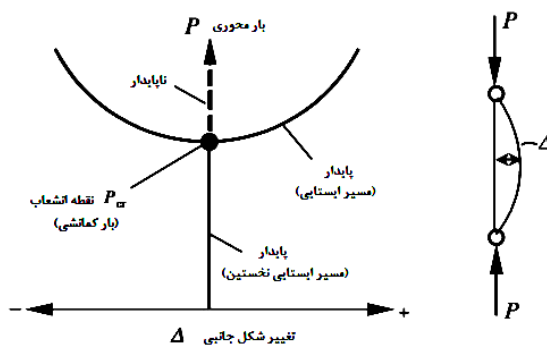
رابطه‌های تحلیلی که تا کنون درباره قاب‌های نیمه‌سخت ارائه شده‌اند، قابل گسترش برای قاب‌های خورجینی می‌باشد. بنابراین، تحلیل قاب‌های خورجینی با بهره‌جوبی از ماتریس سختی پیشنهادی نیز امکان‌پذیر می‌باشد.



شکل (۱۱): چگونگی تبدیل سازه با پیوندهای خورجینی به سازه با پیوندهای نیمه‌سخت

۴- تحلیل پایداری (کمانشی)

در تحلیل پایداری قاب‌های نیمه‌سخت، بار حالت تعادل دوشاخه‌ای (انشعابی) سازه مشخص می‌شود. این بار را بار بحرانی می‌نامند. شکل (۱۲) نمونه‌ای از این حالت را برای یک ستون دو ساده نشان می‌دهد.



شکل (۱۲): بار حالت دوشاخه‌ای (انشعابی) ستون دو ساده

در یک تحلیل کمانشی، قاب را پیش از رسیدن به بار بحرانی، بدون تغییرشکل می‌پنداشند. همچنین، قاب از نظر هندسی کامل پنداشته می‌شود که هیچ گونه لنگر نخستین در آن وجود ندارد. هنگامی که بار به مقدار بحرانی می‌رسد، قاب کمی تغییرشکل دارد، به گونه‌ای که این

جدول (۱) و (۲)، به ترتیب، تغییر مکان ها (بر حسب سانتی متر و رادیان) و نیروهای داخلی (بر حسب کیلوگرم در متر) این سازه را با بهره جویی از فن رایج تحلیل قاب های خورجینی در مقایسه با روش پیشنهادی نشان می دهد. آشکار است، پاسخ های به دست آمده هر دو شیوه، یکسان هستند.

جدول (۱): تغییر مکان های قاب دو طبقه یک دهانه با پیوندهای خورجینی

روش پیشنهادی	تغییر مکان	روش Moghaddam و kohian
۸/۸۳۹۰	۸/۸۳۹۱	جابجایی افقی A
۰/۰۱۳۲	۰/۰۱۳۲	جابجایی قائم A
-۳/۳۱۳۹	-۳/۳۱۳۹	دوران A
۸/۸۲۸۰	۸/۸۲۸۰	جابجایی افقی B
-۰/۰۴۸۹	-۰/۰۴۸۹	جابجایی قائم B
-۳/۱۰۷۰	-۳/۱۰۷۱	دوران B
۱۹/۶۸۱۰	۱۹/۶۸۱۱	جابجایی افقی C
۰/۰۱۷۰	۰/۰۱۷۰	جابجایی قائم C
-۲/۴۵۶۸	-۲/۴۵۶۸	دوران C
۱۹/۶۹۴۶	۱۹/۶۹۴۶	جابجایی افقی D
-۰/۰۷۰۶	-۰/۰۷۰۶	جابجایی قائم D
-۱/۹۹۰۷	-۱/۹۹۰۷	دوران D

جدول (۲): نیروهای داخلی تیرهای قاب دو طبقه یک دهانه با پیوندهای خورجینی

روش پیشنهادی	روش مقدم و کوهیان	نیرو
-۱۸۶۰	-۱۸۶۰	AB نیروی محوری
-۲۶۵۰	-۲۶۵۰	AB برش
۷۶۵۰	۷۶۵۰	BA برش
-۱۱۱۱۲	-۱۱۱۱۲	AB لنگر
-۱۴۶۳۶	-۱۴۶۳۶	BA لنگر
-۵۹۲۰	-۵۹۲۰	CD نیروی محوری
-۱۰۵۳	-۱۰۵۳	CD برش
۶۰۵۳	۶۰۵۳	DC برش
-۷۳۲۱	-۷۳۲۱	CD لنگر
-۱۰۴۴۲	-۱۰۴۴۲	DC لنگر

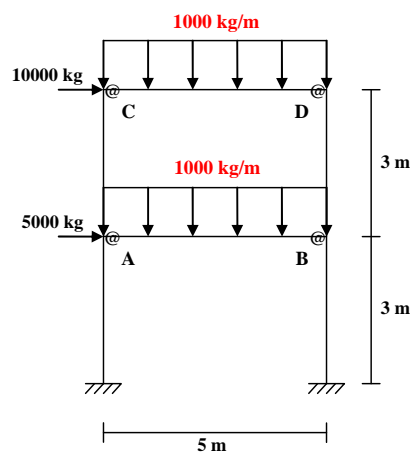
بر پایه داده های آماری، برای برآورد بار بیشینه قاب های نیمه سخت ارائه نمودند [۲۷].

۵- نمونه های عددی

در این بخش برای وارسی درستی ماتریس سختی و نیز اعتبار روش پیشنهادی، چند نمونه عددی تحلیل می گردند و پاسخ ها با نتیجه های دیگر پژوهشگران، مقایسه می شوند. همچنین، مقایسه ای میان بار بحرانی قاب های خورجینی و قاب های نیمه سخت صورت می پذیرد. باید افزود، رفتار همه نمونه های عددی در گستره خطی مواد قرار دارند.

۱-۵- تحلیل قاب های خورجینی با شیوه پیشنهادی

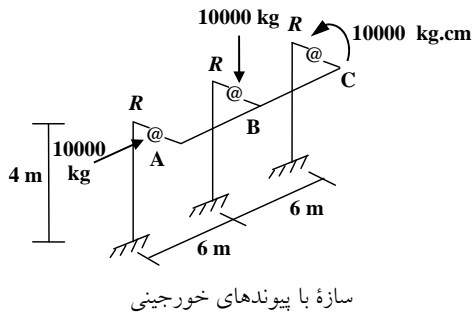
cab خورجینی دو طبقه یک دهانه شکل (۱۳) را زیر اثر بارهای گسترده و جانبی با برنامه رایانه ای خود و نرم افزار SAP 90 انجام دادند [۱۶]. آنها نشان دادند که پاسخ های برنامه و نرم افزار یکسانند. در این مساله، مقطع های تیرها و ستون ها همانند و مساحت و لنگر لختی آنها، به ترتیب، برابر با $m^2 = 0.004$ و $m^4 = 20 \times 10^{-6}$ می باشند. این پژوهش گران، سختی پیوندهای خورجینی را بر پایه نتیجه های آزمایشگاهی $kg.m/rad = 2 \times 10^8$ و ضریب کشسانی فولاد را $kg/m^2 = 10 \times 10^4$ پنداشتند.



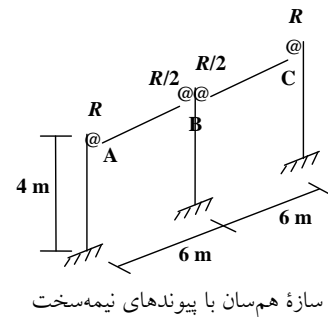
شکل (۱۳): قاب دو طبقه یک دهانه با پیوندهای خورجینی زیر اثر بارهای گسترده و جانبی



ترتیب، IPB14 و IPE22 می‌باشد. سختی پیوند خورجینی و ضریب کشسانی فولاد، به ترتیب، مقدارهای $kg.m/rad$ و kg/m^2 را دارند. در جدول (۳)، جابجایی‌های این قاب (بر حسب سانتی‌متر و رادیان)، در برابر روش پیشنهادی می‌آید. این نمونه عددی نیز درستی راهکار پیشنهادی را آشکار می‌سازد.



نمونه دوم، قاب یک طبقه و دو دهانه شکل (۱۴)، با پیوندهای خورجینی است. در این مسأله، تغییر مکان‌ها به شیوه رایج تحلیل قاب‌های خورجینی و با بهره‌جویی از تحلیل ماتریسی به روش دستی به دست می‌آیند. باید افزود، برای حل معادله حاکم بر رفتار سازه، نرم‌افزار Maple به کار می‌آید. مقطع‌های تیرها و ستون‌ها، به



شکل (۱۴): قاب یک طبقه دو دهانه با پیوندهای خورجینی زیر اثر بارهای گرگی

می‌نماید. باید افزود، تفاوت میان پاسخ‌ها به سبب چگونگی و دقت وارد کردن اثرهای مرتبه دوم می‌باشد.

۳-۵ مقایسه بار بحرانی قاب‌های خورجینی و نیمه‌سخت

در این بخش، قاب دو طبقه و دو دهانه شکل (۱۹)، تحلیل می‌شود و بار بحرانی آن در حالت‌هایی که پیوند تیرها به ستون‌ها نیمه‌سخت و خورجینی است به دست می‌آید. نتیجه‌ها در جدول (۶) و (۷) می‌آیند. باید افزود، در هر یک از این حالت‌ها، مشخصه‌های هندسی و مکانیکی عضوها و نیز سختی پیوندها یکسان هستند. مقطع تیرها همانند و سطح مقطع و لنگر لختی آن‌ها، به ترتیب، برابر m^2 و m^4 می‌باشد. مقطع ستون‌ها نیز یکسان و سطح مقطع و لنگر لختی آن‌ها، به ترتیب، برابر m^2 و m^4 می‌باشد. همچنین، سختی پیوندهای خورجینی و نیمه‌سخت مشابه و از صفر (ساده) تا $kg.m/rad$ می‌باشد. تغییر می‌کنند. نتیجه‌ها نشان می‌دهند که در این گونه تحلیل کمانشی، پاسخ قاب‌های خورجینی، میان دو حالت ساده و سخت و نزدیک به قاب‌های نیمه‌سخت می‌باشد. با وجود این، مقدار بار

جدول (۳): تغییر مکان‌های قاب یک طبقه دو دهانه با پیوندهای خورجینی

تغییر مکان	روش رایج	روش پیشنهادی
جابجایی افقی	۱/۱۳۸۸	۱/۱۳۸۸
جابجایی قائم	۰/۰۰۰۶	۰/۰۰۰۶
دوران	-۰/۰۰۳۰	-۰/۰۰۳۰
جابجایی افقی	۱/۱۳۴۳	۱/۱۳۴۳
جابجایی قائم	-۰/۰۰۵۷	-۰/۰۰۵۷
دوران	-۰/۰۰۲۷	-۰/۰۰۲۷
جابجایی افقی	۱/۱۳۲۲	۱/۱۳۲۱
جابجایی قائم	-۰/۰۰۰۶	-۰/۰۰۰۶
دوران	-۰/۰۰۳۰	-۰/۰۰۳۰

۴-۵ درستی ماتریس سختی پیشنهادی

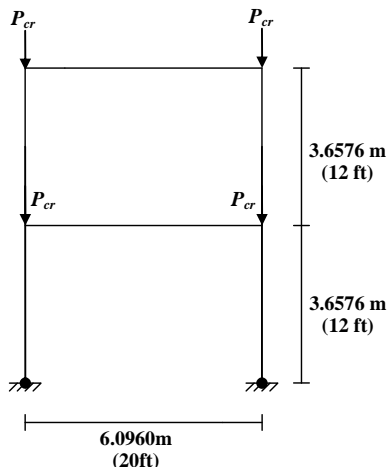
درستی ماتریس سختی پیشنهادی، با یافتن بار بحرانی چهار سازه نمونه وارسی می‌گردد. مشخصه‌های هر یک از این نمونه‌ها در جدول (۴) و شکل‌های (۱۵) تا (۱۸) می‌آیند. نتیجه‌های جدول (۵) نشان می‌دهد که ماتریس سختی پیشنهادی به درستی و در پاره‌ای از سازه‌ها با دقت بیشتری، اثرهای مرتبه دوم و نرمی پیوند را وارد تحلیل

نیمه سخت، چنان رفتاری را در محدوده ضریب گیرداری $0/3$ تا $0/7$ از خود نشان می دهد. باید افزود، بارهای بحرانی به دست آمده از تحلیل قاب خورجینی به روش رایج و فن پیشنهادی یکسان می باشند.

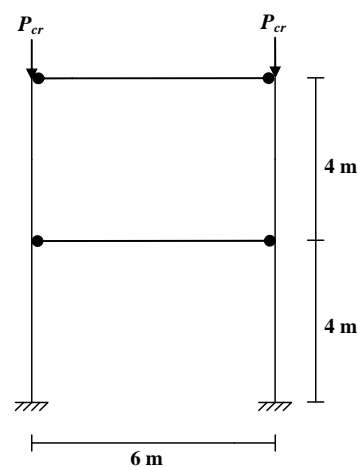
کمانشی یک قاب خورجینی همواره از قاب نیمه سخت مشابه، کمتر خواهد بود. این ویژگی در شکل (۲۰) دیده می شود. از سوی دیگر، با توجه به شکل (۲۱)، تغییرهای بار بحرانی قاب خورجینی در برابر ضریب گیرداری، به طور تقریبی، خطی می باشد. خاطر نشان می کند، قاب

جدول (۴): مشخصه های مقطع ها و پیوندهای نمونه های ۱ تا ۴

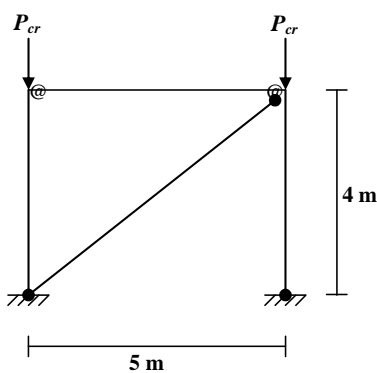
نمودار	ضریب گیرداری	سختی پیوندها (kg.m/rad)	ضریب کشسانی (GPa)	مقطع مهار بند ها	مقطع ستون ها	مقطع تیرها	وضعیت تکیه گاهی	شماره نمونه
[۲۰]	۰	۰	۲۱۰	---	IPB14	IPE22	گیردار	۱
[۲۳]	۱	∞	۲۰۰	---	W12×96	W14×48	ساده	۲
[۲۶]	$0/4177185$	$755660/85$	۲۱۰	---	HEA24	IPE30	گیردار	۳
[۲۶]	$0/4177185$	$755660/85$	۲۱۰	L60×6	HEA24	IPE30	ساده	۴



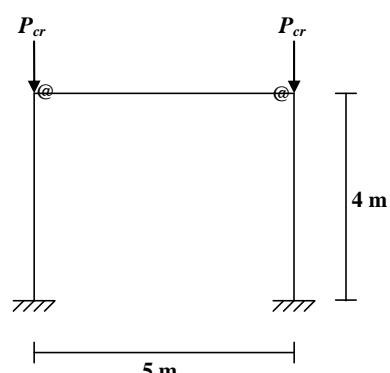
شکل (۱۶): قاب نمونه ۲



شکل (۱۵): قاب نمونه ۱



شکل (۱۸): قاب نمونه ۴



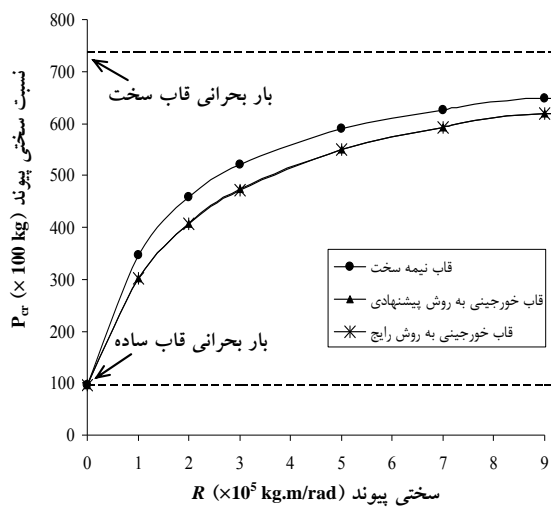
شکل (۱۷): قاب نمونه ۳



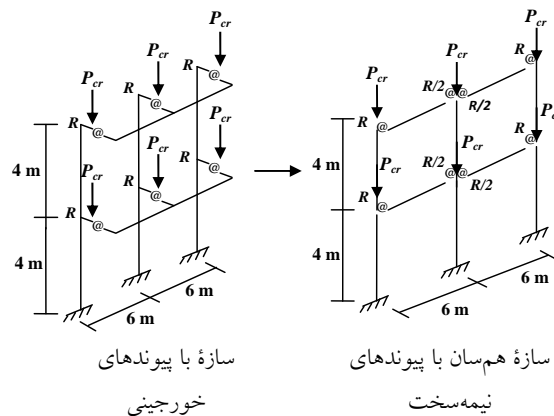
جدول (۵): بار بحرانی نمونه‌های ۱ تا ۴

شماره نمونه	منبع	بار بحرانی (kg)
		روش پیشنهادی
۱	۱۲۲۰۰	۱۲۲۰۰
۲	۳۳۲۱۰۰	۳۳۱۹۰۰
۳	۴۶۵۶۰۰	۴۶۵۸۰۰
۴	۱۱۶۰۴۰۰	۱۱۶۴۷۰۰

بار بحرانی P_{cr} (kg)	ضریب گیرداری r		سختی پیوند $R (10^5 \times kg.m/rad)$	
	ستون‌های میانی			
	ستون‌های کناری	ستون‌های میانی		
۹۶۹۰	۰	۰	۰	
۳۰۱۵۰	۰/۱۴۲۹	۰/۲۵۰۰	۱	
۴۰۷۵۰	۰/۲۵۰۰	۰/۴۰۰۰	۲	
۴۷۳۱۰	۰/۳۳۳	۰/۵۰۰۰	۳	
۵۴۹۷۰	۰/۴۵۴۵	۰/۶۲۵۰	۵	
۵۹۲۶۰	۰/۵۳۸۴	۰/۷۰۰۰	۷	
۶۱۹۸۰	۰/۶۰۰۰	۰/۷۵۰۰	۹	
۷۳۸۳۰	۱	۱	۱۰ ^v	



شکل (۲۰): نمودار بار بحرانی قاب دو طبقه دو دهانه در برابر سختی پیوند



شکل (۱۹): قاب دو طبقه دو دهانه

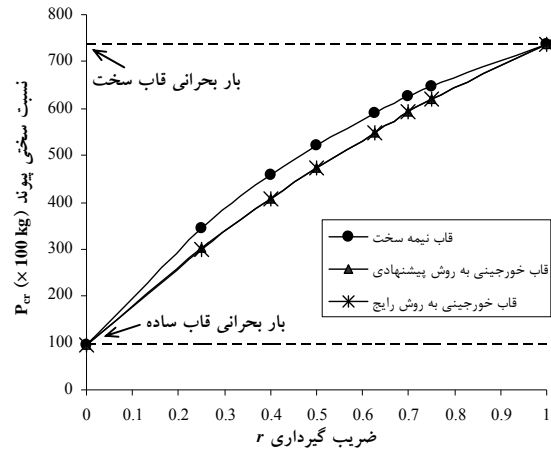
جدول (۶): بار بحرانی قاب دو طبقه دو دهانه با پیوندهای نیمه‌سخت

بار بحرانی P_{cr} (kg)	ضریب گیرداری r		سختی پیوند $R (10^5 \times kg.m/rad)$
	ستون‌های کناری	ستون‌های میانی	
۹۶۹۰	۰	۰	۰
۳۴۵۹۰	۰/۲۵۰	۰/۲۵۰	۱
۴۵۸۰۰	۰/۴۰۰	۰/۴۰۰	۲
۵۲۱۷۰	۰/۵۰۰	۰/۵۰۰	۳
۵۹۰۵۰	۰/۶۲۵	۰/۶۲۵	۵
۶۲۶۵۰	۰/۷۰۰	۰/۷۰۰	۷
۶۴۸۶۰	۰/۷۵۰	۰/۷۵۰	۹
۷۳۸۳۰	۱	۱	۱۰ ^v

۶- نتیجه گیری

آن گونه که آمد، وارد نمودن اثر نرمی پیوند در تحلیل قاب‌ها ضروری است. برای انجام این کار، می‌توان از ضریب گیرداری بهره جست. ضریب گیرداری عضوها اهمیت زیادی در طراحی دارد. زیرا، یک برداشت فیزیکی از سختی پیوند را آشکار می‌سازد. همچنین، طراح به کمک آن و با یک روش ساده به مقایسه پاسخ عضوهای با

Flexibility of connection	نرمی پیوند
Khorjini connection	پیوند خورجینی
Linear model	الگوی خطی
Maximum load	بار بیشینه
Pinned connection	پیوند ساده
Plane steel frame	قاب فولادی دو بعدی
Rigid connection	پیوند سخت
Second-order effects	اثرهاي مرتبه دوم
Semi-rigid connection	پیوند نیمه سخت
Stability analysis	تحلیل پایداری
Stability functions	تابع های پایداری
Stiffness of connection	سختی پیوند
Stiffness matrix	ماتریس سختی



شکل (۲۱): نمودار بار بحرانی قاب دو طبقه دو دهانه در برابر ضريب گيرداری

پیوندهای نیمه سخت در برابر پیوندهای ساده یا سخت می پردازد.

پیوند خورجینی گونه ای از پیوندهای نیمه سخت است.

رابطه تحلیلی میان این دو پیوند، بسیار اهمیت دارد. در این مقاله، شیوه ای نوین برای تحلیل قاب های خورجینی پیشنهاد شد و واستگی میان این دو پیوند آشکار گردید. به کارگیری رابطه های تحلیلی قاب های نیمه سخت برای قاب های خورجینی، از برتری های فن پیشنهادی است.

ماتریس سختی هندسی، که اثرهاي مرتبه دوم و نرمی پیوند را در بر می گیرد، با بهره جویی از ضريب گيرداری و تابع های پایداری، به صورت صریح ارائه گردید. از این ماتریس، می توان در تحلیل مرتبه دوم و پایداری قاب های نیمه سخت بهره جست. نتیجه ها نشان می دهند که بار بحرانی قاب با پیوندهای خورجینی نزدیک به بار بحرانی قاب با پیوندهای نیمه سخت است. همچنین، در این گونه قاب ها، تغییر بار بحرانی در برابر ضريب گيرداری، به طور تقریبی، خطی خواهد بود.

۷- واژه نامه

تحلیل دوشاخه	Bifurcation analysis
تحلیل کمانشی	Buckling analysis
بار بحرانی	Critical load
ضریب گیرداری	End-fixity factor

- [1] Canadian Standards Association (2001), Steel Structures (Limit States Design), CAN/CSA-S16-01, Toronto, Ontario.
- [2] Commission of the European Communities (1992), Eurocode No. 3, Design of Steel Structures, Brussels.
- [3] AISC (1989), Allowable Stress Design, American Institute of Steel Construction, ninth edition, Chicago, IL.
- [4] AISC (2001), Load and Resistance Factor Design Specification, American Institute of Steel Construction, third edition, Chicago, IL.
- [5] Chan, S.L. and Chui, P.P.T. (2000), "Nonlinear Static and Cyclic Analysis of Steel Frames with Semi-Rigid Connections", Elsevier Science, Amsterdam.
- [6] Faella, C., Piluso, V. and Rizzano, G. (2000), "Structural Steel Semirigid Connections : Theory, Design and Software", CRC Press, Boca Raton, FL.
- [7] Kishi, N. and Chen, W.F. (1990), "Moment-Rotation Relations of Semi-Rigid Connections with Angles", Journal of Structural Engineering, ASCE, Vol. 116, No. 7, pp. 1813-1834.
- [8] Chen, W.F. and Lui, E.M. (1991), "Stability Design of Steel Frame", CRC Press, Boca Raton, FL.
- [9] Mohamadi-Shooreh, M.R. and Mofid, M. (2008), "Parametric Analyses on the Initial Stiffness of Flush End-Plate Splice Connections using FEM", Journal of Constructional Steel Research, Vol. 64, pp. 1129-1141.
- [۱۰] آقاکوچک، ع. و شکینی، پ. (۱۳۸۲)، "مطالعه آزمایشگاهی شکل پذیری قاب های فولادی دارای اتصالات



- [22] Monforton, G.R. and Wu, T.S. (1963), "Matrix Analysis of Semi-Rigidly Connected Steel Frames", Journal of Structural Division, ASCE, Vol. 89, No. 6, pp. 13-42.
- [23] Chen, W.F. Editor. (2000), "Practical Analysis for Semi-Rigid Frame Design", World Scientific, Singapore.
- [24] Gerstle, K.H. (1988), "Effect of Connection on Frames", Journal of Constructional Steel Research, Vol. 10, pp. 241-267.
- [25] Xu, L. (2001), "Second-Order Analysis for Semi-Rigid Steel Frame Design", Canadian Journal Civil Engineering, Vol. 28, pp. 59-76.
- [26] Raftoyiannis, I.G. (2005), "The Effect of Semi-Rigid Joints and an Elastic Bracing System on the Buckling Load of Simple Rectangular Steel Frames", Journal of Constructional Steel Research, Vol. 61, pp. 1205-1225.
- [27] Li, G.Q. and Mativo, J. (2000), "Approximate Estimation of the Maximum Load of Semi-Rigid Steel Frames", Journal of Constructional Steel Research, Vol. 54, pp. 213-225.
- [11] مقدم، حسن (۱۳۷۴)، "خواص مکانیکی اتصالات خورجینی"، دومین کنفرانس بین‌المللی زلزله‌شناسی و مهندسی زلزله.
- [12] رضایی پژند، م. و پیمان، ص. (۱۳۸۱)، "ضریب طول مؤثر ستون در قاب‌های خورجینی"، نشریه استقلال، سال ۲۱، شماره ۲، صفحه ۱۸۱ تا ۱۹۵.
- [13] فروغی، م. و برخورداری، م.ع. (۱۳۸۵)، "نقدی بر پیش‌نویس ضوابط طراحی و اجرای ساختمان‌های با اتصال خورجینی"، هفتمین کنگره بین‌المللی مهندسی عمران.
- [14] قاسمی، ع. و آقاکوچک، ع.ا. (۱۳۸۴)، "اثر مقاومت افزون بر ضربی رفتار قابهای فولادی با اتصالات خورجینی"، دومین کنگره ملی مهندسی عمران.
- [15] کوهیان، ر. و مقدم، ح. (۱۳۷۴)، "مدل‌سازی و تحلیل قاب با اتصالات خورجینی و اثر آنها بر نیروهای داخلی قاب"، دومین کنفرانس بین‌المللی زلزله‌شناسی و مهندسی زلزله.
- [16] مقدم، ح. و کوهیان، ر. (۱۳۷۴)، "بررسی مقاومت ساختمان‌های اسکلت فولادی با اتصالات نیمه‌صلب (اتصالات خورجینی) در برابر زلزله"، مؤسسه بین‌المللی زلزله‌شناسی و مهندسی زلزله.
- [17] Hosseini Hashemi, B. and Hassanzadeh, M. (2008), "Study of a Semi-Rigid Steel Braced Building Damaged in the Bam Earthquake", Journal of Constructional Steel Research, Vol. 64, pp. 704-721.
- [18] مقدم، ح.، آقا کوچک، ع.ا.، مزروعی، ع. و میرقادیری، ر. (۱۳۸۲)، "پیش‌نویس ضوابط طراحی و اجرای ساختمان‌های با اتصال خورجینی"، مرکز تحقیقات ساختمان و مسکن تهران.
- [19] Zhou, Z.H. and Chan, S.L. (1995), "Self-Equilibrating Element for Second-Order Analysis of Ssemirigid Jointed Frames", Journal of Engineering Mechanics, Vol. 121, pp. 896-902.
- [20] Sekulovic, M. and Salatic, R. (2001), "Nonlinear Analysis of Frames with Flexible Connections", Computers and Structures, Vol. 79, pp. 1097-1107.
- [21] Yu, C.H. and Shanmugam, N.E. (1986), "Approximate Estimation of the Maximum Load of Semi-Rigid Steel Frames", Computers and Structures, Vol. 23, pp. 639-648.

